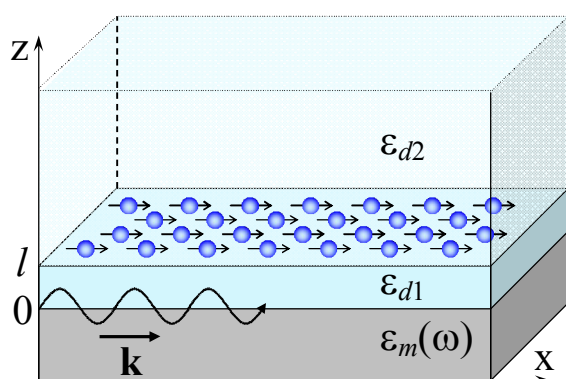


# ДИНАМИКА И РЕЛАКСАЦИЯ ВОЗБУЖДЕНИЙ ПРИ СИЛЬНОМ ЭКСИТОН-ПЛАЗМОННОМ ВЗАИМОДЕЙСТВИИ В ПЛАНАРНОЙ НАНОСТРУКТУРЕ ИЗ МОЛЕКУЛЯРНЫХ J-АГРЕГАТОВ НА МЕТАЛЛИЧЕСКОЙ ПОДЛОЖКЕ

Кучеренко М.Г., Чмерева Т.М.

Центр лазерной и информационной биофизики,  
Оренбургский государственный университет, г. Оренбург

В работе [1] предложена модель безызлучательной передачи энергии от поверхностных плазмонов металлической подложки к J-агрегатам молекул цианиновых красителей, с рождением экситонов Френкеля. Была исследована планарная слоистая наноструктура, состоящая из металлической подложки, диэлектрической прослойки и пленки J-агрегатов цианиновых красителей, составленной из линейных периодических цепочек. В рамках квантовомеханической теории возмущений были проведены расчеты скорости передачи энергии от поверхностных плазмонов, возбуждаемых в подложке, например, электронами, к J-агрегатам в условиях слабого экситон-плазмонного взаимодействия. Было показано, что при определенных параметрах системы время жизни френкелевского экситона по отношению к излучению фотона становится меньше времени тушения экситонного состояния металлом. На наш взгляд это обстоятельство делает перспективным использование таких слоистых структур в светоизлучающих устройствах нового поколения [2-3].



**Рис. 1.** Композитная планарно- слоистая структура MDJD

В работе [4] была рассмотрена многослойная наноструктура, состоящая из металлической подложки, и двух диэлектрических слоев. На границе раздела этих слоев размещался двумерный монослой J-агрегатов цианинового красителя (рис. 1) (MDJD). Было показано, что в том случае, когда имеет место пересечение дисперсионных кривых экситонов и плазмон- поляритонов, и взаимодействие поверхностных плазмон-поляритонов с экситонами J-агрегатов доминирует над другими механизмами релаксации электронных

возбуждений в системе, возможно образование гибридного экситон-плазмонного состояния, энергия которого находится по формуле [5]

$$E(\mathbf{k}) = \frac{1}{2} \left( E_{ex}(\mathbf{k}) + \hbar\omega(k) \pm \sqrt{(E_{ex}(\mathbf{k}) - \hbar\omega(k))^2 + 4|V_{10,01}(\mathbf{k})|^2} \right), \quad (1)$$

где  $E_{ex}(\mathbf{k})$  - энергия двумерного экситона,  $\hbar\omega(k)$  - энергия поверхностного

плазмон-поляритона,  $V_{10,01}(\mathbf{k})$  - матричный элемент экситон-плазмонного взаимодействия,  $\mathbf{k}$  - волновой вектор гибридной квазичастицы,  $k = |\mathbf{k}|$ .

Частота  $\omega(k)$  поверхностного плазмон-поляритона является решением дисперсионного уравнения, которое вытекает из требования непрерывности тангенциальных компонент напряженностей электрического и магнитного полей на поверхностях раздела сред. Для распространяющихся и локализованных вблизи поверхности металла волн должны быть действительными компонента волнового вектора вдоль границы раздела сред и нормальные к поверхности компоненты волнового вектора. Если диэлектрическая проницаемость  $\epsilon_{d1}$  прослойки меньше диэлектрической проницаемости  $\epsilon_{d2}$ , то указанные требования выполняются для всех частот меньших плазменной частоты металла, и закон дисперсии поверхностного плазмон-поляритона имеет вид [4]

$$\frac{\epsilon_m k_z^{d1}}{\epsilon_{d1} k_z^m} = - \frac{\epsilon_{d2} k_z^{d1} \operatorname{ch}(k_z^{d1} l) + \epsilon_{d1} k_z^{d2} \operatorname{sh}(k_z^{d1} l)}{\epsilon_{d2} k_z^{d1} \operatorname{sh}(k_z^{d1} l) + \epsilon_{d1} k_z^{d2} \operatorname{ch}(k_z^{d1} l)}, \quad (2)$$

где  $k_z^m = \sqrt{k^2 - \epsilon_m(\omega) \cdot \omega^2 / c^2}$ ,  $k_z^{d1(2)} = \sqrt{k^2 - \epsilon_{d1(2)} \cdot \omega^2 / c^2}$  - нормальные к поверхностям раздела компоненты волновых векторов;  $\epsilon_m(\omega) = \epsilon_\infty - \omega_{pl}^2 / \omega^2$  - диэлектрическая проницаемость металла, в которой  $\epsilon_\infty$  учитывает вклад кристаллической решетки,  $\omega_{pl}$  - плазменная частота. Диэлектрические проницаемости диэлектриков  $\epsilon_{d1}$  и  $\epsilon_{d2}$  предполагаются не зависящими от частоты.

Вычисление матричного элемента экситон-плазмонного взаимодействия между состоянием системы с одним экситоном в отсутствие плазмона  $|1_{ex}, 0_{pl}\rangle$ , и состоянием без экситонов, но с одним плазмоном и  $|0_{ex}, 1_{pl}\rangle$  при условии, что монослой J-агрегатов расположен в диэлектрической среде с проницаемостью  $\epsilon_{d2}$ , приводит к следующему результату

$$V_{10,01}(\mathbf{k}) = - \frac{1}{\sqrt{s}} \sqrt{\frac{2\pi\hbar\omega}{L(k)}} \frac{a}{d} e^{-k_z^{d2}(z-l)} (\mathbf{e}_k \cdot \mathbf{p}_{10}), \quad (3)$$

где  $s$  - площадь элементарной ячейки двумерного монослоя,  $z$  - расстояние от поверхности металла до монослоя,  $l$  - толщина прослойки,  $\mathbf{p}_{10}$  - дипольный момент перехода между основным и первым возбужденным синглетным состоянием молекулы красителя,  $\mathbf{e}_k$  - единичный вектор, направленный вдоль волнового вектора гибридной квазичастицы,  $L(k)$  - эффективная длина плазмон-поляритонной моды [6].

Очевидно, что использование квантовомеханической теории возмущений в виде золотого правила Ферми для вероятности безызлучательного перехода в системе при сильном экситон-плазмон-поляритонном взаимодействии неправомерно и необходимо производить описание на основе более общего квантовомеханического формализма с использованием матрицы плотности квантовых подсистем взаимодействующих друг с другом и термостатом.

*Динамика и релаксация энергии в композитной планарной системе с сильным экситон-плазмонполяритонным взаимодействием*

Обозначим состояния системы с одним плазмоном без экситонов и одним экситоном в отсутствие плазмона,  $|1\rangle = |0_{ex}, 1_{pl}\rangle$  и  $|2\rangle = |1_{ex}, 0_{pl}\rangle$ , соответственно. Оператор плотности  $\hat{\rho}$  объединенной системы удовлетворяет кинетическому уравнению записанного на базе динамического уравнения Неймана с релаксационным слагаемым [7]

$$\frac{d}{dt}\hat{\rho} = \frac{1}{i\hbar}[\mathbf{H}, \hat{\rho}] - \mathfrak{R}\hat{\rho}. \quad (4)$$

Здесь  $\mathbf{H} = \mathbf{H}_0 + \mathbf{V}$ . Оператор  $\mathbf{H}_0$  в (4) – гамильтониан объединенной системы в отсутствие экситон-плазмонного взаимодействия;  $\mathfrak{R}$  – супероператор релаксации.

В простейшей релаксационной модели вводятся времена  $\tau_{1,2}$  релаксации населенности состояний 1 и 2, и время  $T_2$  фазовой релаксации – затухания недиагональных элементов матрицы плотности. В этом случае элементы матрицы плотности удовлетворяют следующей системе четырех дифференциальных уравнений [8]

$$\frac{d}{dt} \begin{pmatrix} \rho_{11} \\ \rho_{22} \\ \rho_{12} \\ \rho_{21} \end{pmatrix} = \begin{pmatrix} -\frac{1}{\tau_{pl}} & 0 & i\frac{V_{21}}{\hbar} & -i\frac{V_{12}}{\hbar} \\ 0 & -\frac{1}{\tau_{exc}} & -i\frac{V_{21}}{\hbar} & i\frac{V_{12}}{\hbar} \\ i\frac{V_{12}}{\hbar} & -i\frac{V_{12}}{\hbar} & -\frac{1}{T_2} - i\frac{\Delta E}{\hbar} & 0 \\ -i\frac{V_{21}}{\hbar} & i\frac{V_{21}}{\hbar} & 0 & -\frac{1}{T_2} + i\frac{\Delta E}{\hbar} \end{pmatrix} \begin{pmatrix} \rho_{11} \\ \rho_{22} \\ \rho_{12} \\ \rho_{21} \end{pmatrix}, \quad (5)$$

или коротко

$$\dot{\mathbf{X}} = \mathbf{A} \cdot \mathbf{X}(t). \quad (5')$$

Здесь, в (5),  $\tau_1 = \tau_{pl}$  и  $\tau_2 = \tau_{exc}$  – времена жизни плазмона и экситона;  $T_2$  – время поперечной релаксации;  $V_{12} = \langle 1 | \hat{V} | 2 \rangle$ ;  $\Delta E = \langle 2 | \hat{H}_0 | 2 \rangle - \langle 1 | \hat{H}_0 | 1 \rangle$ .

Формальное решение уравнения (5') в виде  $\mathbf{X} = \exp(\mathbf{A}t) \cdot \mathbf{X}(0)$  может быть получено с помощью известной в матричной алгебре теоремы Сильвестра

$$\exp(\mathbf{A}t) = \sum_{k=1}^n \exp(\lambda_k t) \left[ \prod_{j \neq k} (\lambda_k - \lambda_j) \right]^{-1} \prod_{j \neq k} (\mathbf{A} - \lambda_j \mathbf{I}), \quad (6)$$

где собственные значения  $\lambda_j$  матрицы  $\mathbf{A}$  определяются из уравнения четвертого порядка  $\det[\mathbf{A} - \lambda \mathbf{I}] = 0$ .

В случае, когда  $\tau_{pl} = \tau_{exc} = \tau$  и в условиях точного резонанса  $\Delta E = 0$  собственные значения  $\lambda_j$  матрицы  $\mathbf{A}$  принимают вид

$$\begin{aligned} \lambda_1 &= -\frac{1}{2} \left[ (1/\tau_{exc} + 1/T_2) + \sqrt{(1/\tau_{exc} - 1/T_2)^2 - 16|V_{12}|^2/\hbar^2} \right], \\ \lambda_2 &= -\frac{1}{2} \left[ (1/\tau_{exc} + 1/T_2) - \sqrt{(1/\tau_{exc} - 1/T_2)^2 - 16|V_{12}|^2/\hbar^2} \right], \\ \lambda_3 &= -1/\tau_{exc}, \quad \lambda_4 = -1/T_2. \end{aligned} \quad (7)$$

Тогда населенности состояний  $|1\rangle$  и  $|2\rangle$ , определяемые диагональными элементами матрицы плотности принимают следующую форму

$$\rho_{11}(t) = \frac{1}{2} \left[ \exp\left(-\frac{t}{\tau}\right) + C \exp(\lambda_1 t) + (1-C) \exp(\lambda_2 t) \right], \quad (8)$$

$$\rho_{22}(t) = \frac{1}{2} \left[ \exp\left(-\frac{t}{\tau}\right) - C \exp(\lambda_1 t) - (1-C) \exp(\lambda_2 t) \right], \quad (9)$$

где

$$C = \frac{(1/\tau - 1/T_2) + \sqrt{(1/\tau - 1/T_2)^2 - 4\Omega^2}}{2\sqrt{(1/\tau - 1/T_2)^2 - 4\Omega^2}}. \quad (10)$$

Переключение кинетического режима с чисто релаксационного на осцилляционно-релаксационный происходит по достижению критического значения параметров  $1/\tau_{exc} - 1/T_2 = 4|V_{12}|/\hbar$ , когда собственные значения  $\lambda_j$  матрицы  $\mathbf{A}$  становятся комплексными. Заметим, что из (7) тогда получаем  $\lambda_1 = \lambda_2^*$  при  $2\Omega > 1/\tau_{exc} - 1/T_2$ , а из (10)  $1-C = C^*$ . Таким образом, и в случае комплексных  $\lambda_j$  населенности  $\rho_{11}(t), \rho_{22}(t)$  определяемые (8)-(9), остаются действительными величинами

$$\rho_{11}(t) = \frac{1}{2} \left[ \exp\left(-\frac{t}{\tau}\right) + 2 \operatorname{Re} C \exp(\lambda_1 t) \right], \quad (8')$$

$$\rho_{22}(t) = \frac{1}{2} \left[ \exp\left(-\frac{t}{\tau}\right) - 2 \operatorname{Re} C \exp(\lambda_1 t) \right], \quad (9')$$

$$C = \frac{1}{2} \frac{(1/\tau - 1/T_2) + i\sqrt{4\Omega^2 - (1/\tau - 1/T_2)^2}}{i\sqrt{4\Omega^2 - (1/\tau - 1/T_2)^2}}. \quad (10')$$

Отметим, также, что из системы (5) методом исключения переменных можно получить автономные уравнения для инверсии  $\Delta n(t) = \rho_{11}(t) - \rho_{22}(t)$  и для суммарной населенности  $n(t) = \rho_{11}(t) + \rho_{22}(t)$  возбужденного состояния системы:

$$\Delta \ddot{n}(t) + \left( \frac{1}{\tau} + \frac{1}{T_2} \right) \Delta \dot{n}(t) + \left( \Omega^2 + \frac{1}{\tau T_2} \right) \Delta n(t) = 0, \quad (11)$$

$$\dot{n}(t) = -n(t) / \tau. \quad (12)$$

Учитывая, что  $\Delta n(t) + n(t) = 2\rho_{11}(t)$  и  $n(t) - \Delta n(t) = 2\rho_{22}(t)$  можем легко определить кинетику населенности состояний  $|1\rangle = |0_{ex}, 1_{pl}\rangle$  и  $|2\rangle = |1_{ex}, 0_{pl}\rangle$  решая уравнения (11)-(12). Собственные числа уравнения (13) совпадают с  $\lambda_{1,2}$  выражений (7).

При сильном экситон-плазмонном взаимодействии, когда частота  $\Omega = 2|V_{12}|/\hbar \gg 1/\tau_{exc}, 1/T_2$ , на временах  $t \sim \Omega^{-1} \ll \tau_{exc}, T_2$  из (11) получаем для инверсии  $\Delta n(t)$  уравнение гармонических колебаний с частотой Раби  $\Omega$ :

$$\Delta \ddot{n}(t) + \Omega^2 \Delta n(t) = 0, \quad (13)$$

откуда  $\Delta n(t) = \cos(\Omega t)$ . в этих условиях из (12) следует  $n(t) \approx 1$ , и тогда

$$\rho_{11}(t) = [1 + \cos(\Omega t)] / 2, \quad \rho_{22}(t) = [1 - \cos(\Omega t)] / 2. \quad (14)$$

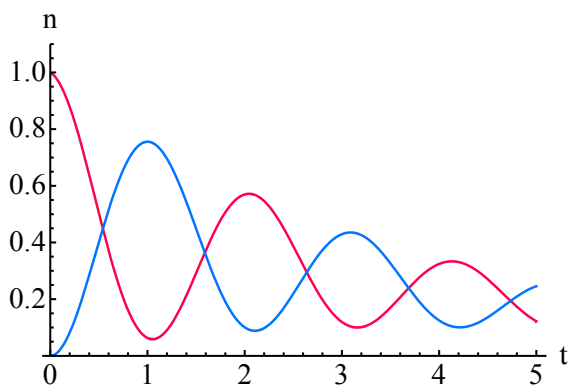
То есть на временах  $t \sim \Omega^{-1} \ll \tau_{exc}, T_2$  существенно меньших всех времен релаксации системы между экситонами и плазмонами планарной наноструктуры успевает произойти многократный энергообмен с частотой Раби  $\Omega$ . Гармонические осцилляции населенностей (14) будут медленно затухать по экспоненциальному закону со скоростью  $1/\tau$  (рис. 2а).

В общем случае при произвольных значениях величин  $\Omega, 1/\tau, 1/T_2$  на основе (11) и (12) получаем кинетику (8)-(9), качественно отраженную на рис.

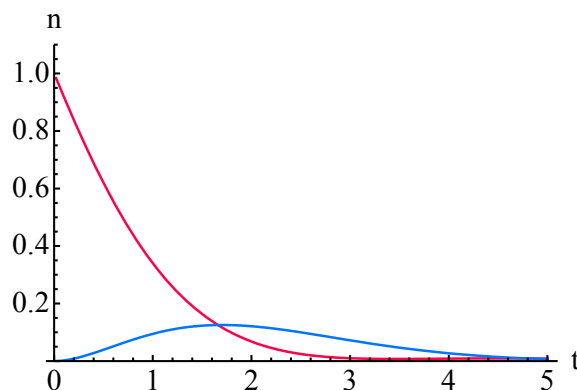
2а-2г. Постоянная  $C$  в (8)-(9) может быть определена на основе первого уравнения системы (5) при  $t \rightarrow 0$ :  $\dot{\rho}_{11} = -1/\tau$ . Тогда

$$C = \frac{1}{2} \left[ 1 + \frac{1}{\sqrt{1-\eta^2}} \right], \quad 1-C = \frac{1}{2} \left[ 1 - \frac{1}{\sqrt{1-\eta^2}} \right] \quad \eta = \frac{2\Omega}{(1/\tau - 1/T_2)},$$

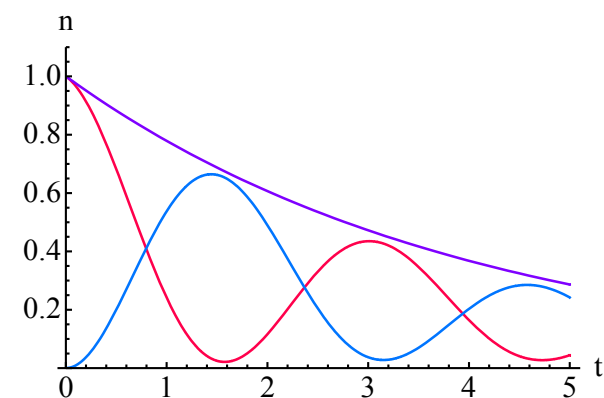
что, конечно, совпадает с (10). При малых частотах Раби временные осцилляции населенностей не выражены, или полностью исчезают (рис. 2б, 2г).



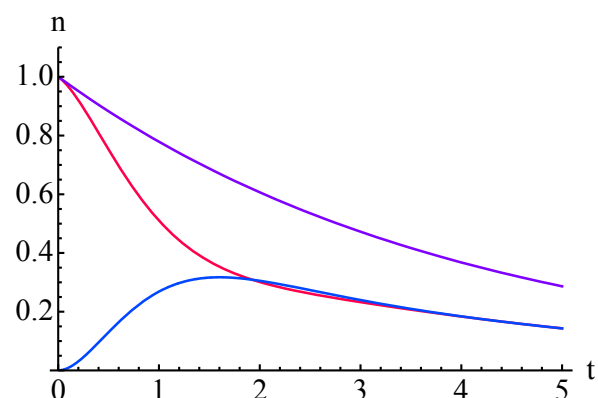
**Рис 2а.** Динамика населенностей  $n_1 = \rho_{11}(t)$  и  $n_2 = \rho_{22}(t)$  возбужденных состояний  $|1\rangle$  и  $|2\rangle$  при больших временах релаксации и частотах  $\Omega = 2|V_{12}|/\hbar$  Раби.



**Рис 2б.** Кинетика распада-активации населенностей  $n_1 = \rho_{11}(t)$  и  $n_2 = \rho_{22}(t)$  возбужденных состояний  $|1\rangle$  и  $|2\rangle$  при больших временах  $\tau_{1(2)}, T_2$  релаксации и малых частотах Раби.



**Рис 2в.** Динамика населенностей  $n_1 = \rho_{11}(t)$  и  $n_2 = \rho_{22}(t)$  при больших временах релаксации и частотах Раби и кинетика распада суммарной населенности  $n(t) = \rho_{11} + \rho_{22}$  (огibaющая кривая) возбужденного состояния системы.



**Рис 2г.** Кинетика населенностей  $n_1 = \rho_{11}(t)$  и  $n_2 = \rho_{22}(t)$  возбужденных состояний  $|1\rangle$  и  $|2\rangle$  и их суммы (верхняя кривая) при малом времени  $T_2 = 0.3\tau_{1(2)}$  фазовой релаксации

В случае же когда  $\tau_{pl} = \tau_{exc} = T_2$  и в условиях точного резонанса  $\Delta E = 0$  спектр собственных значений  $\lambda_j$  становится вырожденным

$$\lambda_1 = \lambda_2 = -1/\tau_{exc}, \quad \lambda_3 = \lambda_4^* = -1/\tau_{exc} - 2i|V_{12}|/\hbar. \quad (15)$$

### Построение супероператора релаксации

Построение решения уравнения (4) для оператора плотности  $\hat{\rho}$  может быть произведено не на основе системы (5), для которой в общем случае спектр собственных значений  $\lambda_j$  матрицы  $\mathbf{A}$  определяется весьма громоздкими выражениями, затрудняющими анализ действия супероператора релаксации  $\mathfrak{R}$ , а на основе специального представления, использующего проекционный супероператор  $\tilde{\mathbf{P}}$ , выделяющий из матрицы оператора плотности  $\hat{\rho}$  диагональные состояния.

Оператор плотности  $\hat{\rho}$  в базисе состояний  $|1\rangle = |0_{ex}, 1_{pl}\rangle$  и  $|2\rangle = |1_{ex}, 0_{pl}\rangle$  имеет вид [7] ( $|n\rangle = \sum_m a_m^{(n)} |m\rangle$ )

$$\hat{\rho} = \sum_{n,m,m'} w_n a_m^{(n)} a_{m'}^{(n)*} |m\rangle \langle m'|. \quad (16)$$

Введем проекционный супероператор  $\tilde{\mathbf{P}}$  следующим выражением

$$\tilde{\mathbf{P}} = |1\rangle \langle 1| \dots |1\rangle \langle 1| + |2\rangle \langle 2| \dots |2\rangle \langle 2|. \quad (17)$$

Тогда его действие на оператор плотности  $\hat{\rho}$  дает следующий результат

$$\tilde{\mathbf{P}}\hat{\rho} = |1\rangle \langle 1| \hat{\rho} |1\rangle \langle 1| + |2\rangle \langle 2| \hat{\rho} |2\rangle \langle 2| = \rho_{11} |1\rangle \langle 1| + \rho_{22} |2\rangle \langle 2|. \quad (18)$$

Очевидно, что проекционный супероператор  $\tilde{\mathbf{I}} - \tilde{\mathbf{P}}$ , где  $\tilde{\mathbf{I}}$  - единичный супероператор, выделяет из оператора плотности  $\hat{\rho}$  недиагональную часть

$$(\tilde{\mathbf{I}} - \tilde{\mathbf{P}})\hat{\rho} = \rho_{12} |1\rangle \langle 2| + \rho_{21} |2\rangle \langle 1|. \quad (19)$$

Введем, теперь, оператор  $\mathbf{T}_1^{-1}$  релаксации населенности состояний  $|1\rangle$  и  $|2\rangle$  соотношением

$$\mathbf{T}_1^{-1} = \frac{1}{\tau_1} |1\rangle \langle 1| + \frac{1}{\tau_2} |2\rangle \langle 2|. \quad (20)$$

Тогда

$$\mathbf{T}_1^{-1}\tilde{\mathbf{P}}\hat{\rho} = \frac{1}{\tau_1}\rho_{11}|1\rangle\langle 1| + \frac{1}{\tau_2}\rho_{22}|2\rangle\langle 2|, \quad T_2^{-1}(\tilde{\mathbf{I}} - \tilde{\mathbf{P}})\hat{\rho} = T_2^{-1}(\rho_{12}|1\rangle\langle 2| + \rho_{21}|2\rangle\langle 1|).$$

Таким образом, супероператор релаксации  $\tilde{\mathfrak{R}}$  может быть записан в виде

$$\tilde{\mathfrak{R}} = \mathbf{T}_1^{-1}\tilde{\mathbf{P}} + T_2^{-1}(\tilde{\mathbf{I}} - \tilde{\mathbf{P}}). \quad (21)$$

Аналогичный подход был использован для описания спин-решеточной релаксации триплетных экситонов при построении теории RYDMR в [9].

Раскрывая коммутатор в уравнении (4) и учитывая (21) получаем

$$\frac{d}{dt}\hat{\rho} = \left\{ -\frac{i}{\hbar}(\mathbf{H}_0 + \mathbf{V}) - \mathbf{T}_1^{-1}\tilde{\mathbf{P}} - T_2^{-1}(\tilde{\mathbf{I}} - \tilde{\mathbf{P}}) \right\} \hat{\rho} + \hat{\rho} \frac{i}{\hbar}(\mathbf{H}_0 + \mathbf{V}),$$

или

$$\frac{d}{dt}\hat{\rho} = \tilde{\mathbf{K}}\hat{\rho} + \hat{\rho}\mathbf{H}'. \quad (22)$$

Для построения решения операторного уравнения (4) удобно ввести оператор  $\mathbf{J}$ , недиагональный в базисе векторов  $|1\rangle$  и  $|2\rangle$   $\mathbf{J} = \sum_{m,m'} |m\rangle\langle m'|$ , который необходим

для того, чтобы преобразовывать супероператоры  $\tilde{\mathbf{P}}$  и  $\tilde{\mathbf{I}} - \tilde{\mathbf{P}}$  в «обычные» операторы в пространстве состояний с базисом  $|1\rangle, |2\rangle$ . Тогда кинетический (эволюционно-релаксационный) оператор может быть записан в виде

$$\mathbf{K} = -\frac{i}{\hbar}(\mathbf{H}_0 + \mathbf{V}) - \mathbf{T}_1^{-1}\tilde{\mathbf{P}}\mathbf{J} - T_2^{-1}(\tilde{\mathbf{I}} - \tilde{\mathbf{P}})\mathbf{J}, \quad \mathbf{H}' = \frac{i}{\hbar}\mathbf{H}. \quad (23)$$

Формальное решение операторного уравнения (24) можно представить с помощью матричных экспонент [10]

$$\hat{\rho}(t) = \exp(\mathbf{K}t)\hat{\rho}(0)\exp(\mathbf{H}'t), \quad (24)$$

и теперь теорема Сильвестра (6) может быть применена к матричным экспонентам  $\exp(\mathbf{K}t)$  и  $\exp(\mathbf{H}'t)$  по отдельности, что существенно понижает порядок степени уравнений на собственные значения.

С учетом (23) матрицы  $K_{ij}$  и  $H'_{ij}$  принимают вид

$$K_{ij} = \begin{pmatrix} -\frac{i}{\hbar}(E_1 + V_{11}) - \frac{1}{\tau_1} & -\frac{i}{\hbar}V_{12} - \frac{1}{T_2} \\ -\frac{i}{\hbar}V_{21} - \frac{1}{T_2} & -\frac{i}{\hbar}(E_2 + V_{22}) - \frac{1}{\tau_2} \end{pmatrix}, \quad H'_{ij} = \frac{i}{\hbar} \begin{pmatrix} E_1 + V_{11} & V_{12} \\ V_{21} & E_2 + V_{22} \end{pmatrix}. \quad (25)$$



Применяя теорему Сильвестра (6) к матричным экспонентам  $\exp(\mathbf{K}t)$  и  $\exp(\mathbf{H}'t)$  при  $\hat{\rho}(0) = |1\rangle\langle 1|$  получаем следующее выражение для кинетики изменения состояния  $|1\rangle = |0_{ex}, 1_{pl}\rangle$

$$\begin{aligned} \rho_{11}(t) = & i \frac{\exp(\kappa_1 t)(K_{11} - \kappa_1)}{(\kappa_1 - \kappa_2)(\Omega_1 - \Omega_2)} \left[ \exp(i\Omega_1 t)(H_{11} / \hbar - \Omega_1) - \exp(i\Omega_2 t)(H_{11} / \hbar - \Omega_2) \right] \\ & + i \frac{\exp(\kappa_2 t)(K_{11} - \kappa_2)}{(\kappa_2 - \kappa_1)(\Omega_2 - \Omega_1)} \left[ \exp(i\Omega_2 t)(H_{11} / \hbar - \Omega_2) - \exp(i\Omega_1 t)(H_{11} / \hbar - \Omega_1) \right] \end{aligned} \quad (26)$$

и состояния  $|2\rangle = |1_{ex}, 0_{pl}\rangle$

$$\begin{aligned} \rho_{22}(t) = & i \frac{K_{21}H_{12}}{\hbar(\kappa_1 - \kappa_2)(\Omega_1 - \Omega_2)} \times \\ & \times \left[ \exp((\kappa_1 + i\Omega_1)t) + \exp((\kappa_2 + i\Omega_2)t) - \exp((\kappa_1 + i\Omega_2)t) - \exp((\kappa_2 + i\Omega_1)t) \right]. \end{aligned} \quad (27)$$

Собственные значения гамильтониана  $\mathbf{H}'$  соответствуют (2)

$$\Omega_{1,2} = \frac{1}{2} \left\{ [E_{ex}(\mathbf{k}) / \hbar + \omega(k)] \pm \sqrt{[E_{ex}(\mathbf{k}) / \hbar + \omega(k)]^2 - 4\omega(k)E_{ex}(\mathbf{k}) / \hbar + \Omega^2(k)} \right\}, \quad (28)$$

с учетом того, что в нашем случае  $V_{11} = V_{22} = 0$  и  $E_1 + E_2 = E_{ex}(\mathbf{k}) + \hbar\omega(k)$ .

Собственные значения кинетического оператора  $\mathbf{K}$

$$\begin{aligned} \kappa_{1,2}(k) = & - \left[ i(E_{ex}(\mathbf{k}) + \hbar\omega(k)) / \hbar + (1/\tau_1 + 1/\tau_2) \right] / 2 - \\ & \mp \frac{1}{2} \left\{ \left[ (1/\tau_1 + 1/\tau_2) + i(E_{ex}(\mathbf{k}) + \hbar\omega(k)) / \hbar \right]^2 + 4 \left[ (1/T_2^2 - 1/(\tau_1\tau_2)) \right. \right. \\ & \left. \left. - i(E_{ex}(\mathbf{k}) / \tau_2 + \hbar\omega(k) / \tau_1 - (V_{12} + V_{21}) / T_2) / \hbar + (E_{ex}(\mathbf{k})\hbar\omega(k) - |V_{12}|^2) / \hbar^2 \right] \right\}^{1/2} \end{aligned} \quad (29)$$

При равенстве энергий  $E_1 + V_{11} = E_2 + V_{22}$  получаем

$$\begin{aligned} \kappa_1 = & - \left[ i(E + V_{11}) / \hbar + (1/\tau_1 + 1/\tau_2) / 2 + \right. \\ & \left. + \sqrt{(1/\tau_1 - 1/\tau_2)^2 + 1/T_2^2 - |V_{12}|^2 / \hbar^2 + (1/T_2)i(V_{12} + V_{21}) / \hbar} \right], \end{aligned} \quad (30)$$

$$\begin{aligned} \kappa_2 = & \left[ -i(E + V_{22}) / \hbar - (1/\tau_1 + 1/\tau_2) / 2 + \right. \\ & \left. + \sqrt{(1/\tau_1 - 1/\tau_2)^2 + 1/T_2^2 - |V_{12}|^2 / \hbar^2 + (1/T_2)i(V_{12} + V_{21}) / \hbar} \right], \end{aligned}$$

$$i\Omega_{1,2} = i(E_1 + V_{11} \mp |V_{12}|) / \hbar.$$

В альтернативном подходе, следуя А.И. Бурштейну и В.П. Коньшеву [8], исходную систему уравнений (5) для элементов матрицы плотности можно подвергнуть преобразованию Лапласа с целью исключения временных зависимостей матричных элементов

$$L[\rho_{ij}] = \int_0^{\infty} \rho_{ij}(t) \exp(-st) dt, \quad L[\dot{\rho}_{ij}] = sL[\rho_{ij}] - \rho_{ij}(0).$$

Тогда величина

$$1 / \tau_1^{eff} = \left( \int_0^{\infty} \rho_{11}(t) \exp(-st) dt \right)_{s=0}^{-1} = 1 / L[\rho_{11}]_{s=0} \quad (31)$$

может рассматриваться как обобщенная скорость распада населенности в донорной подсистеме в том числе – за счет многоактного переноса энергии к акцептору – за все время существования активированной системы. В результате получаем

$$\frac{1}{\tau_1^{eff}} = \frac{1}{L[\rho_{11}]_{s=0}} = \frac{1}{\tau_1} + \frac{2|V_{12}|^2 T_2 / \hbar^2}{1 + \left( \frac{T_2 \Delta E}{\hbar} \right)^2 + 2 \frac{|V_{12}|^2}{\hbar^2} T_2 \tau_2}. \quad (32)$$

При использовании (32) осцилляции населенности в ходе энергообмена в системе игнорируются, но в отличие от теории Ферстера формула (32) может быть использована при произвольной величине экситон-плазмонного взаимодействия  $V_{12}$ . Сглаженная – экспоненциальная – кинетика эффективного распада населенности донорной подсистемы при таком подходе определяется уравнением  $\dot{n}_D(t) = -n_D(t) / \tau_1^{eff}$ .

Работа выполнена при поддержке грантами РФФИ и правительства Оренбургской области (проект № 14-02-97000), а также Министерства образования и науки РФ (Госзадание № 233).

#### Список литературы

1. Чмерева Т.М., Кучеренко М.Г., Курмангалеев К.С. Взаимодействие френкелевских экситонов пленки J-агрегатов с поверхностными плазмонами металлической подложки // В сборнике: Университетский комплекс как регион. центр образования, науки и культуры. Матер. Всеросс. научно-метод. конфер. Оренбург. 2015. - С. 1123-1129.
2. Витухновский А.Г., Чубич Д.А. Экситон-плазмонный наноизлучатель // Патент РФ №2417483. 2009. - 6 с.
3. Лебедев В.С., Медведев А.С., Васильев Д.Н., Чубич Д.А., Витухновский А.Г. Оптические свойства композитных наночастиц благородных металлов, покрытых мономолекулярным слоем J-агрегата органического красителя // Квантовая электроника. - 2010. – Т.40. -№ 3. –С. 246-253.

4. Чмерева Т.М., Курмангалеев К.С. Гибридные плазмон-экситонные состояния в плоскостой наноструктуре // «Наука и образование: фундамент. основы, технологии, инновации». Межд. науч. конфер. посвящ. 60-летию ОГУ. Оренбург, ОГУ, 2015 г. ИПК «Университет». - Часть 4. – С. 221-226.
5. Goliney I.Yu., Sugakov V.I., Valkunas L., Vertsimakha G.V. Effect of metal nanoparticles on energy spectra and optical properties of peripheral light-harvesting LH2 complexes from photosynthetic bacteria // *Chem. Phys.* – 2012. – V. 404. -P. 116-122.
6. Gonzalez-Tudela A., Huidobro P.A., Martin-Moreno L., Tejedor C., Garcia-Vidal F.J. Theory of Strong Coupling between Quantum Emitters and Propagating Surface Plasmons // *Phys. Rev. Lett.* -2013. – V. 110. - P. 126801.
7. Блум К. Теория матрицы плотности и ее приложения. М.: Мир.- 1983. - 248 с.
8. Агранович В.М., Галанин М.Д. Перенос энергии электронного возбуждения в конденсированных средах. М.: Наука. 1978. - 384 с.
9. Сакун В.П., Шушин А.И. Влияние спиновой релаксации триплетов на форму линии RYDMR их аннигиляции // *Химическая физика*. 1985. - С. 348- 355.
10. Беллман Р. Введение в теорию матриц. М.: Наука. 1976. - 352 с.